

## شناسایی نشانگرهای مولکولی پیوسته به ژن مقاومت به ریزومانیا در چغندر قند با استفاده از تجزیه تفرق توده‌ای

سید محمد امین فقهی<sup>۱\*</sup>، پیمان نوروزی<sup>۲</sup>، عباس سعیدی<sup>۳</sup>، کاوه زرگری<sup>۴</sup>

۱. دانش آموخته کارشناسی ارشد بیوتکنولوژی کشاورزی، گروه بیوتکنولوژی، دانشگاه آزاد اسلامی، واحد علوم و تحقیقات، تهران، ایران
۲. استادیار اصلاح نباتات، موسسه اصلاح بذر چغندر قند، کرج، ایران
۳. دانشیار ژنتیک مولکولی گیاهی، گروه بیوتکنولوژی، دانشگاه شهید بهشتی، تهران، ایران
۴. استادیار اصلاح نباتات، گروه زراعت و اصلاح نباتات، دانشگاه آزاد اسلامی، واحد ورامین - پیشوای، ورامین، ایران

**مکان انجام تحقیق:** کرج، روپری ترمینال شهید کلانتری، آزمایشگاه مارکرهای مولکولی، موسسه اصلاح بذر چغندر قند

**مسؤل مکاتبات:** سید محمد امین فقهی، گروه بیوتکنولوژی، دانشگاه آزاد اسلامی، واحد علوم و تحقیقات، تهران، پست الکترونیکی: smafeghhi@yahoo.com

تاریخ پذیرش: ۱۳۸۸/۱۲/۲۲

تاریخ دریافت: ۱۳۸۸/۶/۲۰

### چکیده

ریزومانیا یکی از مهم‌ترین بیماری‌های چغندر قند در ایران و برخی از نقاط جهان است که نقش مهمی در کاهش محصول ریشه و محتوای قند دارد. یکی از روش‌های مبارزه با این بیماری، استفاده از ارقام مقاوم می‌باشد. از نشانگرهای مولکولی برای نشان‌دار کردن ژن‌های مقاومت در برنامه‌های اصلاحی استفاده می‌شود. برای شناسایی نشانگرهای مولکولی پیوسته با ژن مقاومت به ریزومانیا در منبع HOLLY محققین مؤسسه بذر چغندر قند اقدام به ایجاد یک جمعیت  $F_2$  نمودند. در این تحقیق با استفاده از ۲۱۵ ترکیب جفت آغازگرهای RAPD و همچنین به کارگیری روش تجزیه تفرق توده‌ای اقدام به شناسایی نشانگرهای مولکولی پیوسته با ژن مقاومت به ریزومانیا در دو توده مقاوم و حساس به این بیماری و همچنین بوته‌های جمعیت  $F_2$  گردید. سه ترکیب جفت آغازگر در DNA دو توده مقاوم و حساس تولید چندشکلی نمودند. این جفت آغازگرها بعد از آزمون روی تک بوته‌های دو توده، سپس روی تک بوته‌های جمعیت  $F_2$  مورد آزمون و تجزیه قرار گرفتند. در نهایت، فاصله نشانگرها از ژن مقاومت توسط دو روش استفاده از نرمافزار Mapmaker ver. 3.0 و روش استفاده از فراوانی بوته‌های نوترکیب، تعیین گردید. نشانگر R2 با فاصله ۸/۳ سانتی‌مترگان در موقعیت ناجفت و دو نشانگر C2 و C5 به ترتیب با فاصله ۳۲/۸۷ و ۴۳/۷ سانتی‌مترگان از ژن مقاومت قرار داشتند. داده‌های ارائه شده برای امکان استفاده از این نشانگرها در برنامه اصلاح چغندر قند برای مقاومت به ریزومانیا مورد بحث قرار می‌گیرد.

**واژه‌های کلیدی:** ریزومانیا، نشانگر RAPD، جفت آغازگر، چغندر قند، ژن  $Rz1$

می‌کند، ریزومانیا است. اولین بار گزارش‌هایی از رشد ضعیف چغندر قند بر اثر عامل ایجاد‌کننده این بیماری از شمال ایتالیا منتشر گردید (۲). آزمایشی در فرانسه برای ارزیابی میزان خسارت بیماری ریزومانیا صورت گرفت و از سومون تدخینی از قبیل متیل بروماید یا دی کلروپروپن برای ریشه‌کنی ویروس و ناقل آن در لایه‌های سطحی خاک استفاده گردید و با ضد عفنی خاک با چنین سومومی،

**مقدمه**  
چغندر قند (*Beta vulgaris L.*) یکی از دو محصول مهم تأمین‌کننده قند در جهان است. در سال ۲۰۰۷ نیشکر و چغندر قند به ترتیب ۷۵ و ۲۵ درصد قند جهان را تولید نموده‌اند (۱). اصلاح گران نیز تاکنون تلاش بسیاری برای ایجاد مقاومت به بیماری‌ها در چغندر قند کرده‌اند. با این حال، مهم‌ترین بیماری که این گیاه و زراعت آن را تهدید

پلی میکسا بتا کسکین ( Polomyxa betae ) منتقل می شود (۱۳). اقتصادی ترین راه مبارزه با این بیماری تولید ارقام مقاوم است. می توان بجای استفاده از انتخاب فنوتیپی در روش های اصلاحی، گیاهان موردنظر را توسط نشانگرهای مولکولی در سطح ژنوتیپی تفکیک نمود. استفاده از نشانگرهای مولکولی، روشی سریع تر و مطمئن تر است. از این رو، نشانگرهای مولکولی می توانند به عنوان ابزار مؤثری در انتخاب ژنوتیپ های مقاوم به ریزومانیا مورد استفاده قرار گیرند. هدف از این تحقیق، شناسایی نشانگرهای مولکولی پیوسته با ژن مقاومت به ریزومانیا در چغندر قند بود.

#### مواد و روش ها

##### مواد گیاهی

از تلاقی رقم مقاوم *B. vulgaris* subsp. *vulgaris* Holly-1-4 با یک رقم چغندر قند یکساله حساس در مؤسسه تحقیقات اصلاح و تهیه بذر چغندر قند کرج یک جمعیت F<sub>2</sub> تهیه و با استفاده از آزمون الایزا به دو گروه گیاهان مقاوم و حساس تقسیم گردید (۱۴).

#### استخراج DNA

DNA ژنومی، از برگ های یخ زده گیاهان جمعیت F<sub>2</sub> و والدین آنها با استفاده از روشی که توسط Thompson و Murry (۱۹۸۰) (۱۵) شرح داده شده، با کمی تغییرات استخراج گردید. DNA به وسیله کلروفرم و ایزوآمیل الکل جدا و در ۷۰۰۰ دور در دقیقه، سانتریفیوژ و توسط ایزوپروپانول سرد، رسوب داده شد (۱۶). سپس DNA ها برای یک ساعت به ۲۰°C- منتقل و مجددا در ۹۰۰۰ دور در دقیقه برای ۱۰ دقیقه سانتریفیوژ گردیدند. TE DNA در ۱۰۰-۵۰ میکرولیتر بافر (Tris 10mM+EDTA 1mM) حل شدند. (Roche) RNase  $\mu\text{g}/\text{ml}$  ۱۰-۲۰ RNA توسط ژل تجزیه گردید. کیفیت و کمیت DNA ها توسط ژل آگارز ۱/۸ درصد با غلظت مشخصی از آنزیم غیر برشی لامبدا DNA (Roche) مورد ارزیابی قرار گرفت و تصویر ژل با استفاده از دستگاه UV.DOC

محصول شکر در فرانسه از ۲/۱ به ۶/۹ تن در هکتار (۳) و در آزمایش مشابهی در کالیفرنیا، از ۱/۳ تن به ۷/۹ تن در هکتار افزایش یافت (۴). در این حالت اندازه غده به شدت کاهش می یابد، ریشه های آلوده قادر به جذب آب و مواد معدنی نیستند و در نتیجه برگ ها به طور عمومی به رنگ زرد کمرنگ درآمده و رگبرگ های آنان دچار رشد بلند و عمودی می شود. ویروس عامل این بیماری به نام ویروس رگبرگ های BNYVV,Beet (necrotic yellow vine virus) می باشد که به طور سیستمیک در برگ ها پخش و سبب زردی رگبرگ ها می گردد. علاوه ظاهری آن روی ریشه ها بدین صورت است که اگر آلودگی در مراحل پایانی رشد گیاه صورت گیرد، ممکن است هیچ نشانه ای ظاهر نگردد و اگر آلودگی زودتر اتفاق افتاد توهدای از ریشه های جانبی ظریف، موبی، نکروتیک و غیرزنده به وجود می آید که ریشه را از حالت غده ای به حالت ریشه ریشی در می آورد. بافت های آوندی در ریشه های آلوده اغلب به رنگ تیره درمی آید، اندازه غده نیز ممکن است به شدت کاهش یافته، غده طور چشمگیری از ۱۷ درصد به ۱۰ درصد و محصول ریشه نیز تا ۹۰ درصد کاهش یابد. این بیماری برای اولین بار در سال ۱۹۵۰ از شمال ایتالیا گزارش گردید (۲). گسترش منطق آلوده به این بیماری در ژاپن در سال ۱۹۶۵ (۷) منجر به جداسازی، تشخیص، توصیف و نام گذاری ناقل این بیماری، یعنی ویروس سوختگی رگبرگ های زرد چغندر قند (BNYVV) شد (۵). تاکنون چندین ژن مقاومت به ریزومانیا در چغندر قند شناسایی گردیده که از منابع مختلفی منشأ می گیرند. مهم ترین منابع مقاومت به ریزومانیا (*Beta vulgaris* Holly) در ژرم پلاسم های (*Beta vulgaris* WB42 و *Beta vulgaris* subsp. *maritima*) موجود در اکثر ارقام چغندر قند از منبع Holly منشأ می گیرد (۸). مقاومت به ریزومانیا توسط یک ژن غالب به نام *Rz1* ایجاد می شود (۹، ۱۱، ۱۲). ویروس این بیماری توسط قارچ خاکزادی به نام

دو مخلوط DNA ایجاد چندشکلی نمودند مجدداً به صورت تکی و ترکیب جفتی روی مخلوطها آزمایش شدند تا مطمئن شویم چندشکلی ایجاد شده، در نتیجه ترکیب دو آغازگر است و حاصل تک آغازگر نیست. پس از تایید ایجاد چندشکلی بر اثر ترکیب جفت آغازگر، این ترکیب روی دو مخلوط DNA و تک بوته‌های تشکیل‌دهنده آن‌ها آزمایش شد تا فاصله نشانگر از ژن مشخص شود. در آخر، آن دسته از ترکیبات آغازگرها که فاصله‌ای کمتر از ۳۰ سانتی مترگان از ژن *RzI* نشان دادند روی تک بوته‌های جمعیت، مورد آزمایش قرار گرفتند.

### تعیین نقشه نشانگرهای RAPD

نشانگرهای RAPD توسط تجزیه خانواده‌های تفرقیافته با دو روش استفاده از نرم‌افزار Mapmaker ver 3.0 و روش استفاده از فراوانی بوته‌های نوترکیب (۱۸، ۱۹) تعیین نقشه گردیدند. برای هر یک از نشانگرها حداقل ۱۴ بوته در دو سطح مقاوم و حساس مورد تجزیه قرار گرفت.

$$\chi^2 = \sum \frac{(|\text{observed} - \text{expected}| - 0.5)^2}{\text{expected}}$$

در این تجزیه فرض شد که هر هفت تا از مقاوم‌ترین بوته‌ها با حداقل لگاریتم  $\log_{10}$  ng/ml ۰/۳ غلظت ویروس حاوی ژن بزرگ اثر مقاومت باشند، در حالی که هر هفت تا از حساس‌ترین بوته‌ها با حداقل لگاریتم  $\log_{10}$  ng/ml ۰/۶ غلظت ویروس فاقد این ژن باشند، اگر مقدار Yates بیشتر از ۳/۰ شود، لینکاز معنی‌دار می‌شود. Yates مربع اسکوور را پیشنهاد کرد. از آزمون کای اسکور تصحیح شده Yates با درجه آزادی یک برای مقایسه نسبت‌های مورد انتظار و مشاهده شده استفاده گردید (۲۰).

همچنین، برای محاسبه فاصله نشانگرها از مکان ژنی *RzI* از فرمول Barzen و همکاران (۱۹۹۲) در حالت جفت و Amiri و همکاران (۲۰۰۹) در حالت ناجفت نیز استفاده گردید. همان‌طور که در زیر مشاهده می‌شود در فرمول

ACDSee.Pro.2.0.219، Final مشاهده گردید. غلظت DNA توسط طیف‌سنجی نوری تعیین شد.

### پروتکل RAPD

برای ایجاد بهترین شرایط PCR، غلظت‌های مناسب نمک، آغازگر و DNA توسط آزمون گرادیان غلظت تعیین گردید. PCR در تیوب‌های حاوی  $\mu\text{l}$  ۲۵ محلول واکنش شامل ۵۰ ng ژنومی، DNA  $0.2\text{ mM}$  dATP از نوکلئوتیدهای (dTTP, dGTP, dCTP  $\mu\text{l}$ ) Operon و advance biotech با  $2.5\text{ }\mu\text{l}$  از  $10\times$  بافر واکنش (500 mM KCl, pH = ۹.۰ واحد آنزیم SmarTaq DNA پلیمراز تهیه شد. تکثیر درون ویال‌های واکنش PCR در داخل دستگاه چرخش دمایی بیومترای T3 انجام شد. چرخه‌های دمایی انجام شده شامل یک چرخه ۵ دقیقه‌ای در  $40^{\circ}\text{C}$ ،  $40^{\circ}\text{C}$  چرخه شامل ۴۰ ثانیه در  $94^{\circ}\text{C}$ ،  $34^{\circ}\text{C}$  و در آخر  $72^{\circ}\text{C}$ ،  $80$  ثانیه در  $72^{\circ}\text{C}$ - برای افزایش طول نهایی بودند. محصولات تولید شده توسط ژل آگارز با غلظت  $1/4$  درصد درون بافر TAE تفکیک و توسط اتیدیوم بروماید با غلظت  $1\text{ }\mu\text{g/ml}$  رنگ‌آمیزی شدند.

### (Bulk segregant analysis, BSA)

برای شناسایی نشانگرهایی که همراه با ژن مقاومت به ریزومانیا تفکیک می‌شوند، از آزمون تجزیه تفرق توده‌ای که توسط Michelmore و همکاران (۱۹۹۱) توضیح داده شده، با کمی تغییرات استفاده گردید. نمونه DNA رقیق شده هفت عدد از مقاوم‌ترین و هفت عدد از حساس‌ترین گیاهان جمعیت F<sub>2</sub>-A<sub>1</sub>-110 بطور جداگانه با یکدیگر مخلوط و توسط ۲۱۵ ترکیب جفت آغازگرهای RAPD غربال شدند. میانگین الیزای بوته‌های مقاوم و حساس، به ترتیب ۰/۱۳۷ و ۱/۲۵۸ بود. آن دسته از ترکیبات جفت آغازگرها که در بین

نشانگر در گیاهان مقاوم ممکن است ناشی فرار بوتهای حساس به بوتهای مقاوم یا ناشی از ناخالصی در بوتهای مقاوم باشد. بنابراین Amiri و همکاران (۲۰۰۹) بوتهای نوترکیب در جمعیت حساس را در ۲ ضرب کردند.

$$\text{Distance} \text{ } \textcircled{R} = \frac{\text{Susceptible without band} \times 2}{\text{Total individuals}}$$

R=repulsion

$$\text{Distance} \text{ } \textcircled{C} = \frac{\text{Resistant without band} + \text{susceptible with band}}{\text{Total individuals}}$$

c=coupling

MF<sub>12</sub>,MF<sub>7</sub>-c-(~1475) و MF<sub>12</sub> نشانگرهای آنها به ترتیب R<sub>2</sub>, C<sub>6</sub>, C<sub>5</sub>, C<sub>2</sub>, R<sub>2</sub>, C<sub>6</sub> و C<sub>5</sub> نام‌گذاری شدند. نشانگر اول یک نوار در موقعیت ناجفت و سه نشانگر دیگر یک نوار در موقعیت جفت نشان دادند. فاصله R<sub>2</sub> و C<sub>2</sub> از ژن R<sub>z</sub>I با استفاده از روش فراوانی بوتهای نوترکیب به ترتیب ۸/۳ و ۳۲/۸۷ سانتی‌مورگان بود. دو تا از نشانگرها (C<sub>6</sub>=51.9cM و C<sub>5</sub>=43.7cM) در موقعیت جفت به علت فاصله زیادشان تا ژن R<sub>z</sub>I پیوستگی زیادی نشان ندادند و بنابراین از محاسبه با Mapmaker کnar گذاشته شدند. همانطور که در تصویر ۱ نشان داده شده است نشانگر R<sub>2</sub> نواری با اندازه حدوداً ۹۲۰ جفت باز در توده مقاوم و گیاهان تشکیل دهنده این توده ایجاد نمود. هیچ محصولی در ستون نمونه‌های شماره ۱ و ۱۰ مشاهده نمی‌شود.

Amiri و همکاران (۲۰۰۹) (۱۹) بوتهای حساس بدون باند در حالت ناجفت در ۲ ضرب می‌شود. از آن جایی که RAPD نشانگر غالب است (۲۱، ۲۲) در حالت ناجفت امکان تشخیص گیاهان نوترکیب در جمعیت مقاوم وجود ندارد (در حالت ناجفت حضور

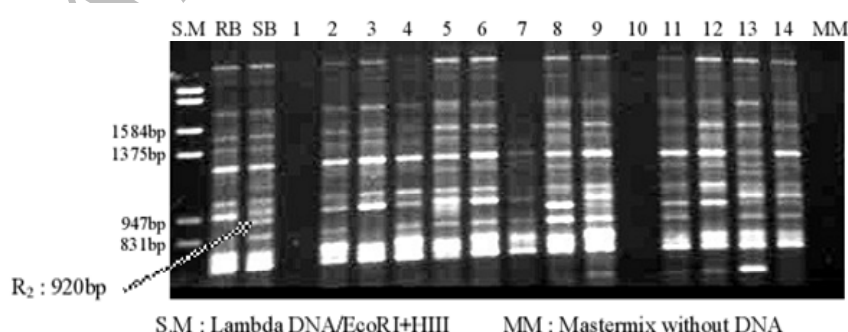
: (۱۹)

: (۱۸)

## نتایج

شناسایی نشانگرهای RAPD پیوسته به ژن مقاومت به ریزومنیا R<sub>z</sub>

برای شناسایی نشانگرهای RAPD پیوسته به ژن مقاومت به ریزومنیا دو توده از مقاومترین و حساس‌ترین گیاهان حاصل از تفرق خانواده Holly-1-4 تهیه گردید. ۲۱۵ ترکیب جفت آغازگر روی هر یک از توده‌ها آزمایش شدند. حدود ۲/۵ درصد ترکیبات جفت آغازگر، مخلوط‌های دو DNA تکثیر نکردند. ۳۴ ترکیب حداقل یک نوار در توده مقاوم یا حساس تکثیر کردند که در دیگری وجود نداشت. با آزمایش‌های بیشتر فقط ۴ ترکیب جفت آغازگر، ایجاد یک نوار چندشکل نمودند که تکرار پذیر و مرتبط با مقاومت بود. آغازگرهای این ۴ ترکیب عبارت بودند از MF<sub>3</sub>,MF<sub>4</sub>-r-(~920) و MF<sub>8</sub>,MF<sub>11</sub>-c-، MF<sub>7</sub>,MF<sub>8</sub>-c-(~1220)



تصویر ۱ - حضور نشانگر RAPD (R<sub>2</sub>) در توده مقاوم (RB)، تک بوتهای مقاوم (SB) و حساس (۱-۱۴) (۱۴)

به صورت تکی استفاده شده بودند، توده‌های مقاوم و حساس همان جمعیت را تکثیر نکردند.

چهار جفت ترکیب آغازگری در جمعیت نوار چند شکل تولید نمودند که دو تا از آن‌ها (C6 و C5) به علت فاصله بیش از ۴۰ سانتی‌متر گان از ژن *Rz1* مورد بررسی قرار نگرفتند. نشانگر C2 نیز به علت این‌که دارای  $\chi^2$  معنی‌دار در سطح ادرصد بود کنار گذاشته شد. انحراف تفرق ممکن است بر اثر حذف انتخابی گامت‌های نر در نتیجه عقیمی دانه‌های گرده یا خود ناسازگاری، حذف انتخابی گامت‌های ماده (۲۴) و یا بر اثر تفاوت‌های شایستگی بین زیگوت‌ها باشد (۲۵). همانطورکه مشاهده می‌شود فواصل ژنتیکی به دست آمده با استفاده از روش تکبوته‌های نوترکیب، بسیار کمتر از فاصله به دست آمده با استفاده از نرم‌افزار Mapmaker است. این تفاوت توسط امیری و سرافراز (۱۳۸۶) (۲۶) نیز بیان شده است. آن‌ها نشان دادند که اگر نشانگر و ژن به صورت جفت پیوسته باشند، فاصله محاسبه شده با استفاده از فراوانی بوته‌های نوترکیب، با فاصله به دست آمده از نرم‌افزار هم‌خوانی دارد، اما اگر نشانگر در حالت ناجفت با ژن مربوطه پیوسته باشد، نتایج حاصل از زیادی با فاصله محاسبه شده با استفاده از فراوانی بوته‌های نوترکیب خواهد داشت. اگر جمعیت *F2* و نشانگر از نوع غالب باشد (مانند RAPD)، برای نشانگرهای ناجفت شناسایی شده، فاصله حاصل از تابع درست‌نمایی و نرم‌افزار Mapmaker به شدت اریب است و در این حالت، روش فراوانی بوته‌های نوترکیب، نتایج نالریبی به دست می‌دهد. برای محاسبه فرمول فراوانی نوترکیبی، نشانگر از Mapmaker تابع درست‌نمایی T مشتق گرفته و آن را برابر صفر قرار می‌دهد. اگر نشانگر ناجفت باشد، فراوانی نوترکیبی تنها تحت تاثیر فراوانی گروه چهارم فنوتیپی (گیاهان حساس فاقد نشانگر یا به عبارت دیگر، ژنوتیپ هموزیگوت مغلوب مضاعف برای نشانگر و مکان ژنی) قرار گرفته و هر چه فراوانی این گروه کمتر باشد، میزان اریب فرمول در برآورد فراوانی نوترکیبی بیشتر خواهد بود (۱۴). بنابراین، نتیجه‌گیری شد که برآوردهای قبلی (یعنی نتایج

فواصل ژنتیکی و ترتیب نشانگرهای R2 و C2 توسط نرم‌افزار ۳.۰ Mapmaker نیز محاسبه شد (جدول ۱).

جدول ۱ - ترتیب و فاصله نشانگرها از یکدیگر و از ژن *Rz* با استفاده از ۳.۰ mapmaker

| Markers | Distance                                 |
|---------|--|
| R2      | 34.8 cM                                  |
| Gene    | 33.3 cM                                  |
| C2      | -----                                    |
|         | 68.1 cM 3 markers log-likelihood= -80.35 |

این نشانگرها در یک گروه پیوستگی قرار داشتند. مقدار  $\chi^2$  برای R2 معنی‌دار نبود و بنابراین از نسبت ۱:۳ تبعیت می‌نمود. ولی این مقدار برای C2 در سطح احتمال ادرصد معنی‌دار بود و از نسبت ۱:۳ مندلی تبعیت نمی‌کرد. برای تعیین نقشه ژنتیکی، تجزیه پیوستگی نشانگرها پیوسته به ژن مقاومت انجام گرفت. تجزیه پیوستگی بر اساس آزمون انحراف تفرق همزمان دو مکان از نسبت‌های پیوستگی فیزیکی بین دو مکان ژنی یا انحراف تفرق در تک‌تک مکان‌ها باشد. بنابراین، برای افزایش دقت در برآورد پیوستگی بین نشانگرها، نشانگر دارای انحراف از تفکیک مندلی (C2) از تجزیه‌های بعدی حذف شد. حذف C2 اثری بر گروه پیوستگی نداشت، اما فاصله نشانگر R2 نسبت به ژن کاهش یافت.

جدول ۲ - ترتیب و فاصله نشانگرها از یکدیگر و از ژن *Rz* با استفاده از ۳.۰ mapmaker

| Markers | Distance                                 |
|---------|--|
| gene    | 23.7 cM                                  |
| R2      | -----                                    |
|         | 23.7 cM 2 markers log-likelihood= -45.25 |

## بحث

استفاده از ترکیبات جفت آغازگر در یافتن چندشکلی، مؤثرتر از کاربرد تک آغازگر بود. در این تحقیق تنها ۲/۵ درصد از جفت آغازگرها، توده‌های مقاوم و حساس را تکثیر نکردند، در حالی که ۱۸ درصد و ۲۴ درصد از همان آغازگرها که به ترتیب توسط امیری (۱۳۸۲) (۱۴) و مصباح (۱۳۸۳) (۲۳)

این تحقیق از نظر مالی توسط مؤسسه تحقیقات اصلاح و تهیه بذر چغندر قند حمایت گردید. همچنین، دانشگاه آزاد اسلامی واحد علوم و تحقیقات تهران با برخی کمکهای علمی از این تحقیق حمایت کردند. از جنب آفای دکتر محمودی در بخش گیاه‌پزشکی این مؤسسه به خاطر تذکرات و کمکهای برادرانه کمال قدردانی را داریم.

به دست آمده از فراوانی بوته‌های نوترکیب) به علت کمبودن تعداد گیاهان حساس فاقد نشانگر (یک گیاه) صحیح بود و نتایج حاصل از نرمافزار به علت کمبودن فراوانی گیاهان حساس فاقد نشانگر برای نشانگرهای ناجفت به شدت اریب است.

## تشکر و قدردانی

### AFLP و RAPD در جمعیت $F_2$ . خلاصه

مقالات پنجمین همایش ملی بیوتکنواوژی جمهوری اسلامی ایران (۳-۵ آذر ماه ۱۳۸۶).

۳. مصباح، م. ۱۳۸۶. شناسایی نشانگرهای مولکولی پیوسته با زنهای مقاومت به ریزومانیا جهت ارزیابی سریع ژرمپلاسم چغندر قند. گزارش نهایی طرح تحقیقاتی. مؤسسه تحقیقات اصلاح و تهیه بذر چغندر قند. ص ۳۲.

۴. امیری، ر. ۱۳۸۶. مقایسه فراوانی بوتهای نوترکیب، تابع درستنمایی و نرمافزار برای برآورد فاصله نشانگرهای Mapmaker

4. Amiri, R., Mesbah, M., Moghaddan, M., Bihamta, M. R., Mohammadi, S. A., Norouzi, P., 2009. A new RAPD marker for beet necrotic yellow vein virus resistance gene in *Beta vulgaris*. *Biologia Plantarum*. 53: 112-119.
5. Amiri, R., Moghaddam, M., Mesbah, M., Sadeghian, S. Y., Ghannadha, M. R., Izadpanah, K., 2003. The inheritance of resistance to beet necrotic yellow vein virus (BNYVV) in *B. vulgaris* subsp. *maritima*, accession WB42: Statistical comparisons with Holly-1-4. *Euphytica* 132: 363-373.
6. Asher, M. J. C., 1993. Rhizomania. In: Cooke, D.A. & Scott, R.K. (eds) The sugar beet crop, Science into practice. Chapman & Hall, London, pp. 311-346.
7. Barzen, E., Mechelke, W., Ritter, E., Seitzer, J. F., Salamini, F., 1992. RFLP markers for sugar beet breeding: chromosomal linkage maps and location of major genes for rhizomania resistance, monogermy and hypocotyl colour. *Plant J* 2: 601-611.
8. Biancardi, E., Lewellen, R. T., de Biaggi, M., Erichsen, A. W., Stevanato, P., 2002. The origin of rhizomania resistance in sugar beet. *Euphytica* 127: 383-397.
9. Canova, A., 1959. Appunti di patologia della barbabietola. *Informatore Fitopatologico* 9: 390-396.

### منابع مورد استفاده

1. امیری، ر. ۱۳۸۲. تعیین مارکرهای مولکولی پیوسته با ژن یا ژنهای مقاومت به ریزومانیا جهت ارزیابی سریع ژرمپلاسم گزارش نهایی طرح تحقیقاتی. مؤسسه تحقیقات اصلاح و تهیه بذر چغندر قند. ص ۳۲.
2. امیری، ر. سرافراز، و. ع. ۱۳۸۶. مقایسه فراوانی بوتهای نوترکیب، تابع درستنمایی و نرمافزار برای برآورد فاصله نشانگرهای Mapmaker
10. Cooke, D. A., Scott, r. K., 1993. The sugar Beet Crop. Science into Practice. Chapman and Hall, Publishers. Pp. 675.
11. Joersbo, M., Pua, E. C., Davey, M. R., 2007. Sugarbeet. In: Biotechnology in Agriculture and Forestry, Volume59, Transgenic Crops IV. pp. 355–379. Eds., Springer-Verlag, Berlin Heidelberg.
12. Keskin, B., 1964. Polymyxa betae n. sp., ein Parasit in den Wurzeln von Beta vulgaris Tournefort, besonders während der Jugendentwicklung der Zuckerrübe. *Arch Mikrobiol* 49: 348–374.
13. Lander, E. S., Green, P., Abrahamson, I., Barlow, A., Daley, M. J., Lincoln, S. E., Newburg, L., 1987. MAPMAKER: An interactive computer package for constructing primary genetic maps of experimental and natural populations. *Genomics* 1: 174-181.
14. Lewellen, R. T., 1995. Performance of near-isolines of sugar beet with resistance to rhizomania from different sources. In: Proc 58th IIRB cong, pp. 83-92.
15. Masuda, T., Kagawa, K., Kanzawa, K., 1969. Studies on succession cropping of sugar beets. 1. Some observations of host-plant reactions and selection for and inheritance of resistance. *Bull Sugarbeet Res Suppl* 11: 77-84.
16. Mesbah M., 2008. Identification of molecular markers linked to rhizomania

- resistance genes for rapid screening of sugar beet germplasm. Final report. Sugar Beet Seed Institute, Karaj, Iran. 44p (in Persian).
17. Michelmore R. W., Paran, I., Kesseli, R. V., 1991. Identification of markers linked to disease-resistance genes by bulked segregate analysis: a rapid method to detect markers in specific genomic regions by using a segregating population. *Proc Natl Acad Sci USA* 88: 9828–9832.
  18. Murry, M. G., Thompson, W. F., 1980. Rapid isolation of high molecular weight plant DNA. *Nucleic Acids Research*. 8: 4321-4325.
  19. Novy, R. G., Vorsa, N., 1996. Evidence for RAPD heteroduplex formation in cranberry: implication for pedigree and genetic-relatedness studies and a source of co-dominant RAPD markers. *Theor Appl Genet* 92: 840-849.
  20. Nouhi, A., Amiri, R., Haghnazari, A., Saba, J., Mesbah, M., 2008. Tagging of resistance gene(s) to rhizomania disease in sugar beet (*Beta vulgaris* L.). *African Journal of Biotechnology* 7: 430-433.
  21. Pelsy, F., Merdinoglu, D., 1996. Identification and mapping of random amplified polymorphic DNA markers linked to a rhizomania resistance gene in sugar beet (*Beta vulgaris* L.) by bulked segregant analysis. *Plant Breeding* 115: 371-377.
  22. Richards, K., Jonard, G., Guille, H., Ziegler, V., Putz, C., 1985. In vitro translation of beet necrotic yellow vein virus RNA and studies of sequence homology among the RNA species using cloned cDNA probes. *J Gen Virol* 66: 345-350.
  23. Sambrook, J., Fritsch, E. F., Maniatis, T., 1989. *Molecular Cloning. A Laboratory Manual* 2. Cold Spring Harbor Laboratory Press. New York.
  24. Scholten, O. E., Jansen, R. C., Keizer, L. C. P., De Bock, T. S. M., Lange, W., 1996. Major genes for resistance to beet necrotic yellow vein virus (BNYVV) in *Beta vulgaris*. *Euphytica* 91: 331-339.
  25. Scholten, O. E., Lange, W., 2000. Breeding for resistance to rhizomania in sugar beet: A review. *Euphytica* 112: 219–231.
  26. Steel, R. G. D., Torrie, J. H., 1980. *Principles and procedures of statistics, a biometrical approach*. Mc Graw- Hill, Inc, New York.
  27. Subudhi, P. K., Huang, N., 2002. Identification of genes responsible for segregation distortion in a doubled haploid population of rice by using molecular markers. *Rice Genetics Newsletters* 12: 239-240.
  28. Tamada, T., 1975. *CMI/AAB Descriptions of Plant Viruses*, 144, pp. 4.
  29. Van den Broecke, A., Riek, J. D., Roldan-Ruiz, I., Wauters, A., Van Bockstaele, E., De Loose, M., 1998. DNA markers: a tool for plant variety description, recognition and stability testing. *Proceedings of the 61 st IIRB Congress, Brussels*, pp. 151-165.
  30. Wagner, H., W. E. Weber, G. Wricke. (1992). Estimating linkage relationship of isozyme markers and morphological markers in sugar beet (*Beta vulgaris* L.) including families with distorted segregations. *Plant Breed.* 108: 89-96.
  31. Whitney, E. D., 1989. Identification, distribution, and testing for resistance to Rhizomania in *Beta maritima*. *Plant Dis* 73: 287-290.